シクロデキストリンに包接されたスピロピラン分子の 異性化と相互作用の分光学的研究

(東農工大院・農,東農工大院・連農)○和田智将,髙柳正夫,吉村季織 Photochromism and intermolecular interaction of spiropyran included in cyclodextrin

(Graduate School of Agriculture • TUAT, UGSAS • TUAT)

Tomomasa Wada, Masao Takayanagi, Norio Yoshimura

【序】スピロピランの SP-1 (1,3,3-Trimethyl- indolino-6'-nitro benzopyrylospiran, Fig. 1) と SP-99 (1,3,3-Tri- methylindolino benzopyrylospiran) は、いずれもフォトクロミズムを示す無色の化合物であるである. どちらも溶液中で紫外光照射によりフォトメロシアニン(それぞれ PMC-1, Fig. 1 またはPMC-99) へと異性化し発色する. 生成した PMC は、暗所で熱的にあるいは可視光照射により SP に戻る. PMC-99 の熱的な戻りの反応は、PMC-1 に比べて著しく早い.

溶液中の PMC はソルバトクロミズムを示し、溶媒の種類(極性と水素結合能)によって吸収極大波長(λ_{max})が変化する. PMC-1 の λ_{max} の溶媒依存性については、すでに報告されている[1]. また暗所で熱的に SP に戻る速さにも溶媒依存

PMC-1

Fig. 1 Molecular formulas of spiropyran (SP-1) and photomerocyanine (PMC-1)

性があることが見出されている[1]. 本研究ではまず、SP-1 を環径の異なる 3 種の CD(α -, β -, γ -CD)に包接させ、紫外光照射によって CD 内で生成した PMC-1 の λ_{max} とその熱的減衰速度を測定した。また PMC-99 の λ_{max} を、種々の溶媒中および β -および γ -CD に包接させた錯体中で測定した。さらに包接錯体中の PMC-99 の熱的減衰速度を測定した。これらの測定で得られた結果から、SP や PMC と CD の相互作用を検討した。

【結果と考察】SP-1/各 CD 包接錯体及び、SP-99/β-CD 包接錯体のいずれもフォトクロミズム(紫外光照射による発色及び可視光照射による脱色)を示した. また紫外光照射により発色した錯体の熱的な減衰(暗所放置による脱色)も確認された.

PMC/CD 錯体と種々の溶媒中の PMC の λ_{max} を Table 1 に示す.溶液中の PMC-1 の λ_{max} は溶

媒との相互作用により変化し、溶媒の極性あるいは 水素結合能が強くなるほど短波長側へシフトし、エ タノール、アセトニトリル、アセトン、四塩化炭 素中でそれぞれ 545、558、567、610 nm であると 報告されている[1]. α -、 β -、 γ -CD 錯体中での PMC-1 の λ _{max} はそれぞれ 535、596、564 nm で観測された. これらの比較から CD 中の PMC-1 が感じる極性の 大きさは α -CD 中で最大であり、 γ -CD 中、 β -CD 中 の順に小さくなっていると考えられる.

PMC-99 の溶液中での λ_{max} はエタノール,アセトニトリル,アセトン中でそれぞれ 550, 559, 564 nm となり、PMC-1 と類似の傾向を示した。PMC-99 についても、 λ_{max} が溶媒の極性あるいは水素結合能が強くなるほど短波長側へシフトすることがわかった。また β -, γ -CD 中での PMC-99 の λ_{max} は、それぞれ 583 と 564 nm に観測された.以上のことから、PMC-1 のときと同様に CD 中の PMC-99 が感じる極性の大きさは γ -CD 中より β -CD 中の方が小さいことがわかった。

PMCから SPへの熱的な戻りの反応の速度の温度依存性を測定し、アレニウスプロット (Fig. 2)の傾きから反応障壁の高さを求めた。 SP-1 包接錯体で見ると、PMC-1 \rightarrow SP-1 の反応障壁の高さは α -、、 β -、、 γ -CD の順に小さくなることがわかった。溶液の場合、反応障壁の高さは PMC の λ_{max} と相関があり、 λ_{max} が短波長側へシフトすると障壁が高くなる。しかし今回の測定では障壁の高さは PMC-1 が感じる極性の大きさの大小関係とは一致せず、CD 環の径の大きさと相関した。 すなわち CD 環が小さいほど PMC-1 \rightarrow SP-1 の反応障壁が高くなった。 CD 中の熱的な反応が受ける効果は、極性あるいは水素結合能ではなくて、主に立体障害果であることがわかった。

Table 2 に,アレニウスプロットから見積もった SP-1 の α -, β -, γ -CD 包接錯体と SP-99 の β -CD 包接錯体の反応障壁を示す. SP-1/ β -CD 包接錯体と SP-99/ β -CD 包接錯体の反応障壁を比べてみると,SP-99 > SP-1 となった.溶液中では SP-99 は減衰が非常に速い分子であるにもかかわらず,包接されたときの障壁の高さは SP-99 の方が高くなった.この原因として,より小さい分子である SP-99 が β -CD により深く包接され,より大きな立体障害を受けていることが考えられる.量子化学計算により錯体の構造を求め,検討をする計画である.

[1] 柏村翔, 東京農工大学農学府修士論文, 2009.

Table 1 λ_{max} of PMC in various solvents and cyclodextrins

spiropyran	solvent or host	$\lambda_{\rm max}/{\rm nm}$
SP-1	Methanol	527
	Ethanol	545
	Acetonitlile	558
	Acetone	567
	Tetrachloromethane	610
	Cyclohexane	579,610
	α-CD	535
	β-CD	596
	γ-CD	564
SP-99	Methanol	552
	Ethanol	550
	Acetonitlile	559
	Acetone	564
	β-CD	583
	γ-CD	564

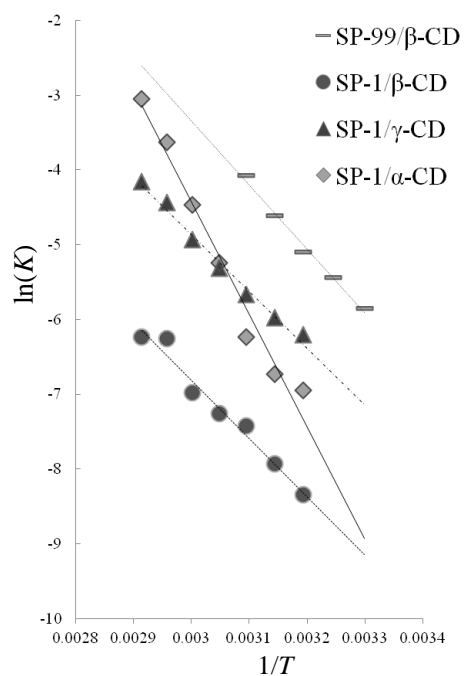


Fig. 2 Arrhenius plots for the reverce reaction of PMC

Table 2 Estimated barrier heights of reverse reaction of PMC

inclusion complexes	barrier height/J	
SP-99/β-CD	0.71×10^5	
SP-1/β-CD	0.65×10^5	
SP-1/γ-CD	0.63×10^5	
SP-1/α-CD	1.3×10^{5}	